

京都大学大学院 学生員 諸川 誠
 京都大学工学部 正員 丹羽義次
 京都大学工学部 正員 廣瀬壯一

1. はじめに

一般に、検出された波動からその内部構造を推定する問題は、並問題と呼ばれている。弾性波動の並問題の研究は、材料工学における超音波探傷から地震学における地球内部構造の解明に至る広い分野で研究されており、その解析方法は波の到達時間差を解析するものがほとんどであり、波形それ自身を解析するものは数少ない。本研究は、弾性体内部のFLAWによる散乱波に注目し、散乱波を波形解析することにより弾性体内部構造の解明を行なうものであり、AE計測装置を用いて、pitch-and-catch 波動実験を行うことにより内部のFLAWの弾性定数を求めるものである。

2. 問題設定と散乱波の積分表現

図-1(a)のように境界 ∂S で囲まれた領域 V_1 は、線形で均質な弾性体であると仮定し、これを弾性体(A)と呼ぶことにする。弾性体(A)の弾性定数、密度は一様値 C_{ijkl}^* , ρ^* で与えられ、 σ の変位、応力、物体力をそれぞれ、 u_i^* , σ_{ij} , b_i とする。一方、図-1(b)に示す様に(a)と同様な領域 V_1 を含む弾性体(B)を考える。弾性体(B)は境界 ∂D で囲まれたある有限な領域 V_1 を除いた領域 V_2 において、弾性定数 C_{ijkl}^* 、密度 ρ^* をもつ均質弾性体となるが、領域 V_1 は V_2 の領域。物理と異なる均質な弾性体で、その弾性定数、密度をそれぞれ C_{ijkl} , ρ で与えられるものとする。また弾性体(B)の変位、応力、物体力をそれぞれ、 u_i , σ_{ij} , b_i とする。弾性体(A)では変換子1から液を入力、変換子2より液を出力する。逆に弾性体(B)では変換子2より液を入力し、変換子1より液を出力することにする。今、変換子が接着面に対して、その垂直成分が換出しないとする。FLAWはよほど散乱波では次の様に表現される。

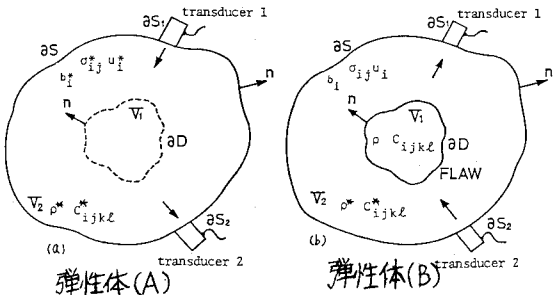


図-1 弾性体(A)と弾性体(B)

$$2\int_{\partial S} f_i f'_i dS = \int_{V_1} u_i^* \bar{C}_{ijkl} u_{jkl} dV - \int_{V_1} u_i^* \bar{\rho} u^2 u_i dV \quad \dots \dots \dots (1)$$

ここで、 f_i は散乱波のフーリエ振幅、 i は定数、 f'_i は変換子1における表面の法線ベクトルであり、

$$\bar{C}_{ijkl} = C_{ijkl} - C_{ijkl}^*, \quad \bar{\rho} = \rho - \rho^* \text{である。} \quad \text{次にZへの近似を導入する。}$$

• Born 近似・・・FLAW体積 V_1 内での全変位 u_i を入射波の変位 u_i^* に等しいと近似する。

• far-field 近似・・・FLAWの中心から、入出力用変換子までの距離はFLAWの大きさに比べて大きい。

上のZへの近似を使い、座標軸を図-2のようにとり、P波が近似すると式(1)は次の様になる。

$$2\int_{\partial S} f_i f'_i dS = C \cdot f(\lambda, \mu, \theta) \cdot \int_D e^{-ik_z(x_1 + x_2)} x'_i f'_i dS \quad \dots \dots \dots (2)$$

$$\text{ただし } C = -\frac{w^2 k_z^4 \bar{\rho}}{(4\pi C\rho^* w^2)^2} \sqrt{\frac{2\pi}{k_z(\frac{1}{x_1} + \frac{1}{x_2})}} e^{i k_z x_1} e^{i k_z x_2} (x_1 + x_2), \quad f(\lambda, \mu, \theta) = \frac{(\lambda - \lambda^*) + 2(\mu - \mu^*) \cos^2 \theta}{\lambda^* + 2\mu^*} \cdot \frac{\rho}{\bar{\rho}} - \cos \theta$$

ここで λ はP波の波数、 λ^* , μ^* はFLAWから変換子までの距離、 x_1 , x_2 は変換子1, 2の位置ベクトル、 x_1 , x_2 は x , x_2 の単位ベクトル、 w は角振動数、 λ , μ はLamé定数である。

3. 実験及び解説方法

本実験では、半径7.5 cm, 高さ15 cmの円柱形モルタルを解説モデルに対応したモデル供試体とし、弾性体(A)として、すべて均質モルタルから成る供試体(A)、弾性体(B)に対応するとして、中間に半径0.65 cm,

及び 1.3 cm の穴を縫り抜ききの中に石こうをつめた供試体(B)を用いた。AE計測装置を用いて、波の入、出力実験を行ない。さらに散乱波の波形をフーリエ変換することにより、FLAWによる散乱波のフーリエ振幅を得る。散乱波は式(2)のよう表現されているが、式(2)の右辺、積分規が θ によらずほぼ一定であるとすると、要するに点由、得られた散乱波のフーリエ振幅 S_x^f , S_y^f の比は次のように表わされる。

$$\frac{S_x^f}{S_y^f} = f(\lambda, \mu, \theta_x) / f(\lambda, \mu, \theta_y) \quad \dots \dots \quad (3)$$

これにより、FLAWのLamé定数 μ 、入はかなくとも異なる3点で実験を行なう、式(3)で表わされる方程式を2組つければ、連立一次方程式の解として簡単に求まる。

4. 結果

実験結果は、図-3のように横軸に周波数(Hz), 縦軸に入, μ (kg/cm²)の値をとて表わした。ある周波数で実験の値はでているものの、だいたい一定値をとり、その値は $\lambda = 54000$ (kg/cm²), $\mu = 21000$ (kg/cm²)である。あらかじめ、予備実験で得られたLamé定数の真値は表-1で示したとおりであり、実験値は真値の約2倍となつた。その原因を究明するためには積分方程式を用いて理論的に求められたFLAWの散乱波データとして数値的に、

(i)外部物質とFLAWのP波速度比(C_L^2/C_{L1})

(ii)外部物質とFLAWの密度比(ρ^*/ρ)

(iii)FLAWと検出点の距離とFLAWの半径の比(a_2/a_1)

(iv)周波数

以上4つを変動させてLamé定数 μ と入を求めた。(図-4参照、破線は真値を示す)。これによると(C_L^2/C_{L1})及び(ρ^*/ρ)の影響が非常に大きく精度に関与し、正解が得られる範囲がごく狭い区間に限られるが、(a_2/a_1)及び周波数は、結果に大きな影響を及ぼさず、いかにも3値に対してほぼ真値に近い数値を示した。この結果より、本研究で用いた2つの近似のうち、far-field近似は求められたLamé定数の精度にほとんど悪影響を与える妥当性があつたが、Born近似は求められたLamé定数の精度に非常に大きな影響を及ぼすことがわかつた。

表-1に示すように、本実験に用いたモルタルと石こうのP波速度比(C_L^2/C_{L1})は約1.44である、図-4によると(C_L^2/C_{L1})約1.44に対応する入の値は真値の約2倍となつてあり、実験により得られた結果と一致する。

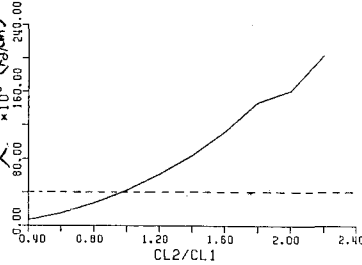


図-4 P波速度比の影響

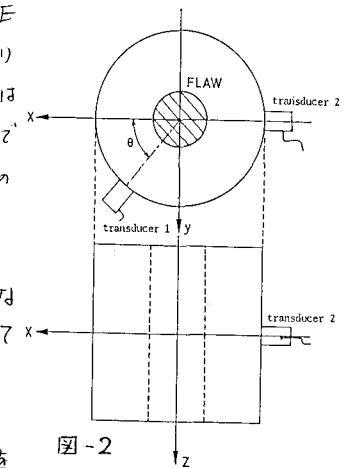


図-2

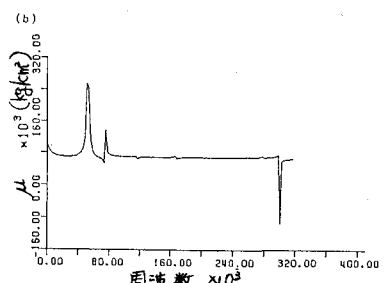
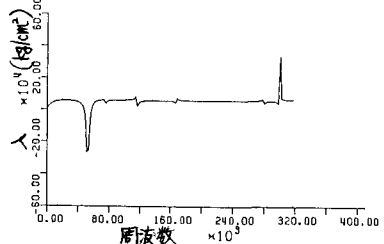


図-3 入, μ の値

表-1 予備実験結果

	Mortar	Plaster
P-WAVE SPEED (m/s)	3740.6	2471.1
S-WAVE SPEED (m/s)	2180.5	1513.2
DENSITY (kg/cm ³)	2.060×10^{-3}	1.605×10^{-3}
Lame CONSTANT (kg/cm ²)	93990.0	25320.0
μ	99700.6	37972.9
POISSON MODULUS	0.2426	0.2

参考文献: 1) G.S.Kino; The application of reciprocity theory to scattering of

acoustic waves by flaws, J. Appl. Phys., Vol. 49, No. 6, 1978.